

ИЗГИБ ПЛОСКОГО КРИВОЛИНЕЙНОГО АНИЗОТРОПНОГО БРУСА СИЛОЙ,
ПРИЛОЖЕННОЙ НА КОНЦЕ

А. С. Космодамянский
(Саратов)

В 1882 г. Х. С. Головин впервые получил точное решение задачи об изгибе плоского кривого изотропного бруса [1]. Для некоторых случаев нагрузки решение аналогичной задачи об изгибе кривого криволинейно-ортотропного бруса дано С. Г. Лехницким [2]. Здесь задача об изгибе криволинейно-анизотропного бруса рассматривается в более общей постановке,— брус не предполагается ортотропным.

Дан кривой брус постоянного прямоугольного сечения, заделанный одним концом и деформируемый силой P , приложенной к другому концу. Действие объемных сил не учитываем. Будем считать, что брус обладает цилиндрической анизотропией и что полюс анизотропии находится в общем центре окружностей, ограничивающих план бруса. Деформации считаем малыми. Никаких элементов упругой симметрии, кроме плоскостей, параллельных срединной плоскости, не предполагаем. Будем пользоваться полярными координатами (фиг. 1).

Пусть a и b — внутренний и наружный радиусы контуров, h — толщина бруса, ω — угол наклона силы к плоскости сечения, где она приложена (в центре сечения). Величина угла между концевыми сечениями не имеет значения; будем считать ее меньше 2π . Величина $a/b = c$.

Рассматривая данную задачу как плоскую, будем считать, что уравнения, выражающие обобщенный закон Гука, имеют вид:

$$\begin{aligned}\varepsilon_r &= a_{11}\sigma_r + a_{12}\sigma_\theta + a_{16}\tau_{r\theta} \\ \varepsilon_\theta &= a_{12}\sigma_r + a_{22}\sigma_\theta + a_{26}\tau_{r\theta} \\ \gamma_{r\theta} &= a_{16}\sigma_r + a_{26}\sigma_\theta + a_{66}\tau_{r\theta}\end{aligned}\quad (1)$$

где σ_r , σ_θ , $\tau_{r\theta}$ — средние по толщине напряжения, ε_r , ε_θ , $\gamma_{r\theta}$ — средние по толщине деформации.

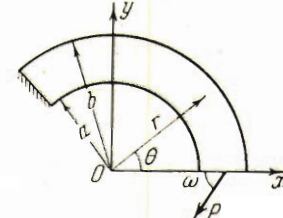
Как известно, составляющие напряжений выражаются через функцию напряжений

$$\sigma_r = \frac{1}{r} \frac{\partial F}{\partial r} + \frac{1}{r^2} \frac{\partial^2 F}{\partial \theta^2}, \quad \sigma_\theta = \frac{\partial^2 F}{\partial r^2}, \quad \tau_{r\theta} = -\frac{\partial^2}{\partial r \partial \theta} \frac{F}{r} \quad (2)$$

Последняя удовлетворяет уравнению [2]

$$\begin{aligned}a_{22} \frac{\partial^4 F}{\partial r^4} - 2a_{16} \frac{1}{r} \frac{\partial^4 F}{\partial r^3 \partial \theta} + (2a_{12} + a_{66}) \frac{1}{r^2} \frac{\partial^4 F}{\partial r^2 \partial \theta^2} - 2a_{16} \frac{1}{r^3} \frac{\partial^4 F}{\partial r \partial \theta^3} + a_{11} \frac{1}{r^4} \frac{\partial^4 F}{\partial \theta^4} + \\ + 2a_{12} \frac{1}{r} \frac{\partial^3 F}{\partial r^3} - (2a_{12} + a_{66}) \frac{1}{r^3} \frac{\partial^3 F}{\partial r \partial \theta^2} + 2a_{16} \frac{1}{r^4} \frac{\partial^3 F}{\partial \theta^3} - a_{11} \frac{1}{r^2} \frac{\partial^2 F}{\partial r^2} - \\ - 2(a_{16} + a_{26}) \frac{1}{r^3} \frac{\partial^2 F}{\partial r \partial \theta} + (2a_{11} + 2a_{12} + a_{66}) \frac{1}{r^4} \frac{\partial^2 F}{\partial \theta^2} + a_{11} \frac{1}{r^3} \frac{\partial F}{\partial r} + \\ + 2(a_{16} + a_{26}) \frac{1}{r^4} \frac{\partial F}{\partial \theta} = 0\end{aligned}$$

Здесь a_{11} , a_{22} , a_{16} , a_{26} , a_{12} , a_{66} — упругие постоянные материала.



Фиг. 1

Решение поставленной задачи получается при помощи функции напряжений вида

$$F = f(r) e^{\theta i} + \bar{f}(r) e^{-\theta i} = (f + \bar{f}) \cos \theta + i(f - \bar{f}) \sin \theta \quad (4)$$

Функция $f(r)$ определяется из дифференциального уравнения

$$\begin{aligned} & a_{22} f_1^{IV} + \frac{2}{r} (a_{22} - ia_{26}) f_1^{III} - \frac{1}{r^2} (2a_{12} + a_{66} + a_{11}) f_1^{II} + \\ & + \frac{1}{r^3} [(2a_{12} + a_{66} + a_{11}) - 4ia_{26}] f_1' + \frac{1}{r^4} [2ia_{26} - (a_{11} + 2a_{12} + a_{66})] f_1 = 0 \end{aligned} \quad (5)$$

Общее решение уравнения (5) имеет вид:

$$f_1(r) = Ar^{1+\alpha i+\beta} + Br^{1+\alpha i-\beta} + Cr \log r + Dr \quad (6)$$

где A, B, C, D — произвольные постоянные интегрирования,

$$\alpha = \frac{a_{26}}{a_{22}}, \quad \beta = \sqrt{1 + \frac{a_{11} + 2a_{12} + a_{66}}{a_{22}} - \frac{a_{26}^2}{a_{22}^2}}$$

Для сопряженной функции $\bar{f}_1(r)$ получим выражение

$$\bar{f}_1(r) = \bar{A}r^{1-\alpha i+\beta} + \bar{B}r^{1-\alpha i-\beta} + \bar{C}r \log r + \bar{D}r \quad (7)$$

Произвольные постоянные, содержащиеся в выражениях функций $f(r)$ и $\bar{f}(r)$, определим из граничных условий, которые будут: на кривых сторонах нормальные и касательные напряжения равны нулю, а на свободном конце приводятся к силе P .

В результате получаются следующие формулы для составляющих напряжений:

$$\begin{aligned} \sigma_\theta &= \frac{P}{bh} [R_2(r) \sin(\omega - \theta) - R_1(r) \cos(\omega - \theta)] \\ \sigma_r &= -\frac{P}{bh} [M_1(r) \sin(\omega - \theta) + M_2(r) \cos(\omega - \theta)] \\ \tau_{r\theta} &= \frac{P}{bh} [M_2(r) \sin(\omega - \theta) - M_1(r) \cos(\omega - \theta)] \end{aligned} \quad (8)$$

где

$$\begin{aligned} R_1(r) &= \frac{b}{rg_1} \left\{ \alpha \cos \left(\alpha \log \frac{r}{a} \right) \left[\left(\frac{b}{r} \right)^\beta - \left(\frac{r}{b} \right)^\beta \right] + \sin \left(\alpha \log \frac{r}{a} \right) \left[(1 + \beta) \left(\frac{r}{b} \right)^\beta + \right. \right. \\ &\quad \left. \left. + (\beta - 1) \left(\frac{b}{r} \right)^\beta \right] + \alpha \cos \left(\alpha \log \frac{r}{b} \right) \left[\left(\frac{a}{r} \right)^\beta - \left(\frac{r}{a} \right)^\beta \right] - \right. \\ &\quad \left. - \sin \left(\alpha \log \frac{r}{b} \right) \left[(\beta - 1) \left(\frac{a}{r} \right)^\beta + (\beta + 1) \left(\frac{r}{a} \right)^\beta \right] \right\} \end{aligned}$$

$$\begin{aligned} R_2(r) &= \frac{b}{rg_1} \left\{ \alpha \sin \left(\alpha \log \frac{r}{a} \right) \left[\left(\frac{b}{r} \right)^\beta - \left(\frac{r}{b} \right)^\beta \right] + \cos \left(\alpha \log \frac{r}{a} \right) \left[(\beta - 1) \left(\frac{b}{r} \right)^\beta + \right. \right. \\ &\quad \left. \left. + (1 + \beta) \left(\frac{r}{b} \right)^\beta \right] + \alpha \sin \left(\alpha \log \frac{r}{b} \right) \left[\left(\frac{a}{r} \right)^\beta - \left(\frac{r}{a} \right)^\beta \right] - \right. \\ &\quad \left. - \cos \left(\alpha \log \frac{r}{b} \right) \left[\left(\frac{r}{a} \right)^\beta (1 + \beta) + \left(\frac{a}{r} \right)^\beta (\beta - 1) \right] + (c^{-\beta} - c^\beta) \right\} \end{aligned}$$

$$M_2(r) = \frac{b}{rg_1} \left\{ \sin \left(\alpha \log \frac{r}{a} \right) \left[\left(\frac{r}{b} \right)^\beta - \left(\frac{b}{r} \right)^\beta \right] + \sin \left(\alpha \log \frac{r}{b} \right) \left[\left(\frac{a}{r} \right)^\beta - \left(\frac{r}{a} \right)^\beta \right] \right\}$$

$$\begin{aligned} M_1(r) &= \frac{b}{rg_1} \left\{ \cos \left(\alpha \log \frac{r}{b} \right) \left[\left(\frac{r}{a} \right)^\beta - \left(\frac{a}{r} \right)^\beta \right] + \cos \left(\alpha \log \frac{r}{a} \right) \left[\left(\frac{b}{r} \right)^\beta - \right. \right. \\ &\quad \left. \left. - \left(\frac{r}{b} \right)^\beta \right] - (c^{-\beta} - c^\beta) \right\} \end{aligned}$$

Таблица 1
Выражение δ_0^*

$\frac{r}{b/a}$	0	0.1	0.2	0.3	0.4	0.5	0.6	0.7	0.8	0.9	1
3	15.6	10.4	6.40	3.74	1.72	0.0569	-1.31	-2.47	-3.49	-4.38	-5.19
2	25.4	18.3	12.5	7.67	3.58	0.0350	-3.10	-5.86	-8.36	-10.6	-12.7
1.3	116	89.9	65.7	42.5	20.6	0.0238	-20.5	-38.2	-56.0	-73.4	-89.2

при этом

$$g_1 = \frac{4\beta c^3 \cos(\alpha \log c) - 2\beta(1 + c^{2\beta}) + (\alpha^2 + \beta^2)(c^{2\beta} - 1) \log c}{c^3(\alpha^2 + \beta^2)}$$

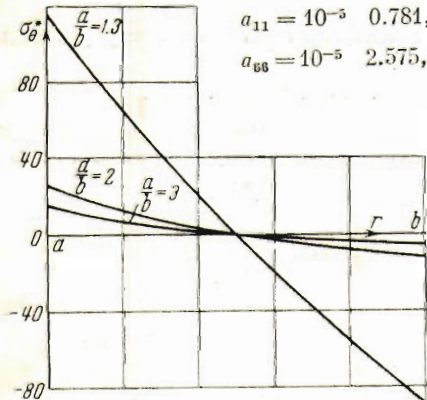
Положив в формулах (8) и (9) $\alpha = 0$, $\beta = n = \sqrt{1 + (a_{11} + 2a_{12} + a_{66})/a_{22}}$, найдем выражения для напряжений в кривом криволинейно-ортотропном брусе, полученные С. Г. Лехницким [3].

Составляющие напряжений в изотропном брусе получаются при $n = 2$.

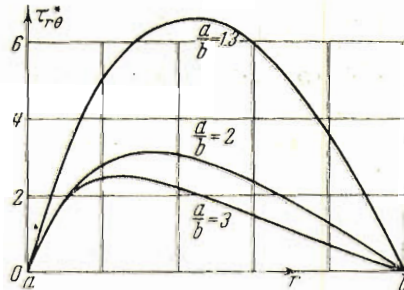
Приведем результаты вычислений для бруса, у которого упругие постоянные имеют следующие численные значения [2]:

$$a_{11} = 10^{-5} 0.781, \quad a_{22} = 10^{-5} 1.531, \quad a_{12} = -10^{-5} 0.006 \quad (10)$$

$$a_{66} = 10^{-5} 2.575, \quad a_{16} = -10^{-5} 0.541, \quad a_{28} = -10^{-5} 0.758$$



Фиг. 2



Фиг. 3

Нормальные напряжения в сечениях, перпендикулярных приложенным силам и касательные напряжения в сечениях, параллельных силам, запишем так:

$$\sigma_\theta = \frac{P}{bh} \sigma_\theta^*, \quad \tau_{r\theta} = \frac{P}{bh} \tau_{r\theta}^* \quad (11)$$

В табл. 1 и 2 приведены значения безразмерных коэффициентов σ_θ^* и $\tau_{r\theta}^*$, где числа 0, 0.1, ..., 0.9, 1 указывают значения радиусов r , соответственно равные a , $a + 0.1(b - a)$... b .

На фиг. 2 и 3 приведены графики изменения σ_θ^* и $\tau_{r\theta}^*$ для трех отношений радиусов.

Анализ напряженного состояния анизотропных брусьев с разными отношениями радиусов позволяет сделать ряд выводов.

1. Максимальное значение σ_θ значительно больше максимальных значений σ_r и $\tau_{r\theta}$ и получается в точке на внутреннем крае. Эта точка находится не в сечении, перпендикулярном силе (что имеет место для изотропного и криволинейно-ортотропного брусьев), а в другом сечении под углом к силе, зависящем от отношения радиусов и от упругих постоянных.

Таблица 2
Выражение τ_{r0}^*

r b/a	0	0.1	0.2	0.3	0.4	0.5	0.6	0.7	0.8	0.9	1
3	0	1.90	2.48	2.48	2.22	1.89	1.51	1.41	0.728	0.355	0
2	0	1.91	2.80	3.12	3.07	2.79	2.35	1.83	1.25	0.631	0
1.3	0	2.98	5.12	6.16	6.53	6.62	6.00	4.98	3.61	1.95	0

2. В радиальном сечении, где σ_0 принимает максимальное значение, τ_{r0} не равно нулю (в противоположность изотропному и криволинейно-ортотропному брусьям).

3. Для малых отношений внешнего радиуса бруса к внутреннему распределение нормальных напряжений по радиальным сечениям приближается к линейному, а распределение касательных напряжений — к параболическому, что имеет место для прямых брусьев.

4. При данной нагрузке постоянная a_{16} не влияет на распределение напряжений.

Поступила 2 IV 1951

ЛИТЕРАТУРА

- Головин Х. С. Одна из задач статики упругого тела. Известия Петербургского технологического института. Петербург 1882.
- Лехницкий С. Г. Анизотропные пластинки. Гостехиздат. 1947.
- Лехницкий С. Г. Плоская задача теории упругости для тела с цилиндрической анизотропией. Ученые записки Саратовского гос. университета. 1938. Т. I (XIV), сер. физ.-мат. Вып. 2.